



中国科学技术大学  
University of Science and Technology of China

# Chapter 1

## 离散时间信号与系统



1.3 设  $x(n)$  和  $y(n)$  分别表示一个系统的输入和输出, 试确定下列系统是否为:

(1) 稳定系统; (2) 因果系统; (3) 线性系统, 并说明理由。

(a)  $y(n) = ax^2(n)$

(b)  $y(n) = x(n) + 3$

考察点: 系统**因果性, 稳定性**基本定义

解: (a) (1) 稳定性证明:  $|x(n)| \leq M$ , 则  $|y(n)| = |ax^2(n)| \leq |a|M^2$

(2) 因果性证明: 因为  $y(n) = ax^2(n)$ , 不取决于输入的将来值, 所以该系统是因果系统。

(3) 系统是非线性的, 因为:

$$y_1(n) = T[x_1(n)] = ax_1^2(n)$$

$$y_2(n) = T[x_2(n)] = ax_2^2(n)$$

$$y(n) = T[x_1(n) + x_2(n)] = a[x_1(n) + x_2(n)]^2 \neq y_1(n) + y_2(n)$$



(b)

- (1) 稳定性证明:  $|x(n)| \leq M$ , 则  $|y(n)| = |x(n) + 3| \leq M + 3$
- (2) 因果性证明: 因为  $y(n) = x(n) + 3$ , 不取决于输入的将来值, 所以该系统是因果系统。
- (3) 系统是非线性的, 因为:

$$y_1(n) = T[x_1(n)] = x_1(n) + 3, y_2(n) = T[x_2(n)] = x_2(n) + 3$$

$$\text{令 } x(n) = ax_1(n) + bx_2(n)$$

$$y(n) = T[x(n)] = ax_1(n) + bx_2(n) + 3 \neq ay_1(n) + by_2(n)$$

注意: 采用单位冲激响应  $h(n)$  的因果性和绝对可和性质判决系统的因果性和稳定性仅在  
线性非时变系统下成立。



1.4 已知  $x(n)$  的傅里叶变换为  $X(e^{j\omega})$ , 求下列序列的傅里叶变换。

(3)  $x(2n)$

考察点: DTFT定义公式

$$\text{解: } G(e^{j\omega}) = \sum_{n=-\infty}^{\infty} x(2n)e^{-j\omega n} = \sum_{n \text{ 为偶数}} x(n)e^{-j\omega n/2}$$

$$\text{消除“n为偶数”的约束条件: } \sum_{n \text{ 为偶数}} x(n)e^{-j\omega n/2} = \sum_{n=-\infty}^{\infty} \frac{1}{2} [x(n) + (-1)^n x(n)] e^{-j\omega n/2}$$

整理为求解两个序列的傅里叶变换:

$$G(e^{j\omega}) = \frac{1}{2} \sum_{n=-\infty}^{\infty} x(n)e^{-j\omega n/2} + \frac{1}{2} \sum_{n=-\infty}^{\infty} e^{-j\pi n} x(n)e^{-j\omega n/2} = \frac{1}{2} X\left(e^{j\omega/2}\right) + \frac{1}{2} X\left(e^{j(\omega-2\pi)/2}\right)$$



1.5 设序列  $x(n)$  的傅里叶变换为  $X(e^{jw})$ , 证明:

$$\sum_{n=-\infty}^{\infty} |x(n)|^2 = \frac{1}{2\pi} \int_{-\pi}^{\pi} |X(e^{j\omega})|^2 d\omega$$

考察点: 傅立叶变换的共轭对称性:  $x^*(n) \rightarrow X^*(e^{-j\omega})$

解: 
$$x^*(n) = \frac{1}{2\pi} \int_{-\pi}^{\pi} X^*(e^{-j\omega}) e^{j\omega n} d\omega$$

$$= \frac{1}{2\pi} \int_{-\pi}^{\pi} X^*(e^{j\omega'}) e^{-j\omega' n} d\omega'$$

$$\sum_{n=-\infty}^{\infty} |x(n)|^2 = \sum_{n=-\infty}^{\infty} x(n) x^*(n)$$



1.9 设因果稳定IIR滤波器的 $H(z)$ 为：

$$H(z) = K \frac{1 - z^{-1}}{1 - dz^{-1}}$$

- (1) 试确定 $K$ 的值, 使得 $|H(e^{j\omega})|_{max} = 1$
- (2) 系统的单位脉冲响应 $h(n)$

考察点：系统函数和单位冲激响应

解： (1) 系统幅度响应的平方为

$$|H(e^{j\omega})|^2 = H(z)H(z^{-1}) \Big|_{z=e^{j\omega}} = 2K^2 \frac{1 - \cos \omega}{1 + d^2 - 2d \cos \omega}$$



对上式求导，可得

$$\frac{d \left| H(e^{j\omega}) \right|^2}{d\omega} = 2K^2 \frac{(\sin \omega)(1-d)^2}{(1+d^2 - 2d \cos \omega)^2}$$

在  $0 \leq \Omega \leq \pi$  范围内，系统幅度响应平方的导数非负，所以在  $\Omega = \pi$  处达到最大。即：  
 $|H(e^{j\omega})|_{max} = 1$ ，则有：

$$1 = K \frac{2}{1+d}$$

所以：

$$K = \frac{1+d}{2}$$

(2) 注意到题干为因果稳定系统，所以单位脉冲响应为：

$$h[k] = \frac{1+d}{2} (d^k u[k] - d^{k-1} u[k-1])$$



1.10 若  $F(z)$  为  $f(n)$  的 Z 变换,  $G(z)$  为  $g(n)$  的 Z 变换, 且:

$$G(z) = \frac{1}{z} \frac{d^2}{dz^2} F\left(\frac{z}{3}\right)$$

考察点: Z 变换性质, 做题时要注意 **层层嵌套的 Z 变换性质**

主要用到的 Z 变换性质:

$$\begin{aligned} a^n x(n) &\leftrightarrow X(a^{-1}z) \\ nx(n) &\leftrightarrow -z \frac{dX(z)}{dz} \\ x(n + n_0) &\leftrightarrow z^{n_0} X(z) \end{aligned}$$



解：

根据  $a^n x(n) \leftrightarrow X(a^{-1}z)$ ,  $nx(n) \leftrightarrow -z \frac{dX(z)}{dz}$  以及  $x(n + n_0) \leftrightarrow z^{n_0} X(z)$  的 z 变换性质可以得到：

$$\begin{aligned}\frac{d^2}{dz^2} X(z) &= \frac{d}{dz} \left[ -\frac{1}{z} \cdot -z \cdot \frac{d}{dz} X(z) \right] = -\frac{1}{z} \cdot \frac{d}{dz} \left[ -z \frac{d}{dz} X(z) \right] + \frac{1}{z^2} \left[ -z \frac{d}{dz} X(z) \right] \\ -\frac{1}{z} \cdot \frac{d}{dz} \left[ -z \frac{d}{dz} X(z) \right] &= \frac{1}{z^2} \cdot -z \frac{d}{dz} \left[ -z \frac{d}{dz} X(z) \right] \leftrightarrow (n-2)^2 x(n-2) \\ \frac{1}{z^2} \left[ -z \frac{d}{dz} X(z) \right] &\leftrightarrow (n-2)x(n-2)\end{aligned}$$

则：

$$\frac{1}{z} \frac{d^2}{dz^2} X \left( \frac{z}{3} \right) \leftrightarrow (n-3)^2 3^{n-3} x(n-3) + (n-3) 3^{n-3} x(n-3) \text{ 代入}$$

解得：

$$g(n) = (n-3)^2 3^{n-3} f(n-3) + (n-3) 3^{n-3} f(n-3)$$



中国科学技术大学  
University of Science and Technology of China

# Chapter 2

## 离散傅立叶变换 (DFT)



2.1 计算下列有限长序列  $x(n)$  的DFT, 假设序列长度为  $N$

(4)  $x(n) = nR_N(n)$

考察点: DFT的计算, 注意标明k的取值范围

解: 令  $x_1(n) = R_N(n)$ , 则  $X_1(z) = \sum_{n=0}^{N-1} z^{-n} = \frac{1-z^{-N}}{1-z^{-1}}$

利用z变换中的性质  $X(z) = -z \frac{dX_1(z)}{dz}$ , 因此

$$X(k) = X(z) \Big|_{z=W_N^{-k}} = -\frac{N}{1-W_N^k}, k = 1, 2, \dots, N-1$$

$$X(k) \Big|_{k=0} = \sum_{n=0}^{N-1} n W_N^{kn} = \sum_{n=0}^{N-1} n = \frac{N(N-1)}{2}, k = 0$$



2.2 研究两个周期序列  $\tilde{x}(n)$  和  $\tilde{y}(n)$ ,  $\tilde{x}(n)$  具有最小周期  $N$  而  $\tilde{y}(n)$  具有最小周期  $M$ ,  $M \neq N$ 。序列  $\tilde{w}(n)$  定义为  $\tilde{w}(n) = \tilde{x}(n) + \tilde{y}(n)$

- (1) 求序列  $\tilde{w}(n)$  的最小周期, 给出证明过程。
- (2) 设  $\tilde{X}(k)$  为  $\tilde{x}(n)$  的DFS,  $\tilde{Y}(k)$  为  $\tilde{y}(n)$  的DFS,  $\tilde{W}(k)$  为  $\tilde{w}(n)$  的DFS。试用  $\tilde{X}(k)$  和  $\tilde{Y}(k)$  表示  $\tilde{W}(k)$ 。

考察点: DFS的定义与计算

解: (1)

最小周期为  $M$  和  $N$  的最小公倍数  $Q = LCM(M, N) = k_1 M = k_2 N$

因为  $\tilde{w}(n) = \tilde{x}(n) + \tilde{y}(n)$ , 所以

$$\begin{aligned}\tilde{w}(n + Q) &= \tilde{x}(n + k_2 N) + \tilde{y}(n + k_1 M) \\ &= \tilde{x}(n) + \tilde{y}(n) = \tilde{w}(n)\end{aligned}$$



下面证明其是最小周期：

假设  $\exists K < Q$ ,  $K$  为正整数, 使得其是序列  $\tilde{w}(n)$  的周期, 则有

$$\tilde{w}(n + K) = \tilde{x}(n + K) + \tilde{y}(n + K) = \tilde{x}(n) + \tilde{y}(n) = \tilde{w}(n)$$

$$\text{移位得 } \tilde{x}(n + K) - \tilde{x}(n) = \tilde{y}(n) - \tilde{y}(n + K)$$

由于  $M \neq N$ ,  $\tilde{x}(n + K) - \tilde{x}(n)$  和  $\tilde{y}(n) - \tilde{y}(n + K)$  不能同时取0

又  $\tilde{x}(n + K) - \tilde{x}(n)$  的周期为  $N$ ,

$\tilde{y}(n) - \tilde{y}(n + K)$  的周期为  $M$

所以两者不相等, 矛盾。

故  $Q = LCM(M, N)$  是最小周期



(2) 由上一问知,  $MN$  为  $\tilde{x}(n)$  的周期, 把  $\tilde{x}(n)$  看成周期为  $MN$  的序列, 其DFS为  $\tilde{x}_{MN}(k) = \sum_{n=0}^{MN-1} \tilde{x}(n) W_{MN}^{kn}$

可以把上式看作长为  $N$  的  $M$  段相加, 令  $n' = n - lN$ , 其中  $0 \leq n' \leq N - 1$

$$\tilde{x}_{MN}(k) = \sum_{n'=0}^{N-1} \tilde{x}(n') W_{MN}^{kn'} \sum_{l=0}^{M-1} W_{MN}^{lkN}$$

则

$$= \sum_{n'=0}^{N-1} \tilde{x}(n') e^{-j \frac{2\pi}{N} \frac{k}{M} n'} \sum_{l=0}^{M-1} W_{MN}^{lkN}$$

前面一项就是  $\tilde{X}\left(\frac{k}{M}\right)$



后面一项由于  $\sum_{l=0}^{M-1} W_{MN}^{lkN} = \begin{cases} M, & \text{当 } k \text{ 为 } M \text{ 的倍数时} \\ 0, & \text{其他} \end{cases}$

整理一下为  $\sum_{l=0}^{M-1} W_{MN}^{lkN} = M \sum_{l=-\infty}^{+\infty} \delta(k - lM)$

所以得  $\tilde{X}_{MN}(k) = M \tilde{X}\left(\frac{k}{M}\right) \sum_{l=-\infty}^{+\infty} \delta(k - lM)$

同理可求  $\tilde{Y}_{MN}(k)$

最终结果：

$$\begin{aligned} \tilde{W}(k) &= \tilde{X}_{MN}(k) + \tilde{Y}_{MN}(k) \\ &= M \tilde{X}\left(\frac{k}{M}\right) \sum_{l=-\infty}^{+\infty} \delta(k - lM) + N \tilde{Y}\left(\frac{k}{N}\right) \sum_{l'=-\infty}^{+\infty} \delta(k - l'N) \end{aligned}$$



2.6 已知序列  $x(n) = a^n u(n)$ ,  $0 < a < 1$ , 今对其Z变换  $X(z)$  在单位圆上  $N$  等分采样, 采样值为

$$X(k) = X(z) \Big|_{z=W_N^{-k}}, 0 \leq k \leq N-1$$

- (1) 求有限长序列IDFT  $X(k)$
- (2) 若  $x(n) = a^n R_N(n)$ ,  $0 < a < 1$ , 重复上述过程
- (3) 试作分析比较和解释上述两个结果。

考察点: Z变换与DFT关系, 频域取样与栅栏效应

解: (1)

步骤1: 先对  $x(n)$  求Z变换  $X(z) = \sum_{n=0}^{\infty} x(n)z^{-n} = \frac{1}{1-az^{-1}}$



步骤二：对Z变换在单位圆上N点取样

$$\begin{aligned} X(k) &= X(z) \Big|_{z=W_N^{-k}} = \frac{1}{1-az^{-1}} \Big|_{z=W_N^{-k}} = \frac{1}{1-aW_N^k} \\ &= \frac{1}{1-a^N} \cdot \frac{1-a^N W_N^{Nk}}{1-aW_N^k} = \frac{1}{1-a^N} \sum_{n=0}^{N-1} (aW_N^k)^n \\ &= \frac{1}{1-a^N} \sum_{n=0}^{N-1} a^n W_N^{nk} \end{aligned}$$

步骤三：求IDFT

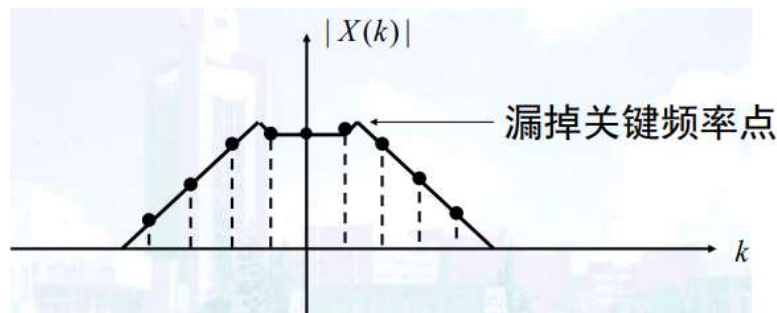
$$\therefore \text{IDFT}[X(k)] = \frac{1}{1-a^N} a^n R_N(n)$$



(2) 同理  $\text{IDFT}[X(k)] = a^n R_N(n) = x(n)$

(3) 分析: **参考书97页**

第一问中序列长度为无限长, 频域N点取样, 时域周期延拓, 但由于采样密度不够, 造成时域混叠, 在频域上解释为栅栏效应。对于无限长序列, 无论N取什么, 都不可能消除混叠误差, 只能随着N的增加, 逐渐改善。



第二问中序列长度为N, 当频域采样点数M满足  $N \leq M$  时, 均可以不失真的恢复出原序列。



2.9对一个序列作谱分析，要求谱分辨率 $F \leq 50\text{Hz}$ ，信号最高频率为 $1\text{kHz}$ ，试确定以下各参数：

(4) 将频谱分辨率提高一倍时，最少取样点数 $N_{min}$ 的值应该变为多少。

解：频带宽度不变，即信号最高频率 $f_c$ 不变，频率分辨率提高一倍是指，频率分量间的增量变为原来的二分之一，故分辨率的数值大小变为原来的一半。

$$N_{min} = \frac{2f_c}{F} = \frac{2 \times 1000}{25} = 80$$



2.10 设一模拟信号  $x(t) = \cos(\Omega_0 t)$ , 经采样后得到序列  $x(n) = \cos(\omega_0 n)$ 。现将其截断成一个  $N$  点长序列  $x_N(n)$ , 相当于乘上一个  $N$  点长的窗函数  $\omega_N(n)$ , 讨论矩形窗截断的情况, 即  $x_N(n) = x(n)R_N(n)$ 。

解:

(1) 请推导出  $N$  点矩形窗的频谱表达式, 进一步求出其幅度谱、相位谱。

注意: 幅度谱加绝对值

画图时, 关键的频点, 例如幅度为 0 时的横坐标要标记出来



(2) 用 $N=5$ 的矩形窗加窗, 请画出原序列的频谱和经加窗后信号的频谱图像。

注意: 原序列的频谱为两个冲激函数, 利用卷积的性质, 相当于将第一问的结果进行了搬移, 分别搬移到 $\pm\omega_0$ 处

(3) 若另一序列 $x_1(n)$ 在 $\omega_1$ 和 $\omega_2$ 处是两根谱线, 现定义频率分辨率为矩形窗谱主瓣宽度 $(4\pi/N)$ 的一半, 用 $N$ 点矩形窗 $R_N(n)$ 进行加窗, 比较截断前后频谱, 分析 $N$ ,  $\omega_1$ 和 $\omega_2$ 在什么条件下, 经频域卷积后, 两个频谱将无法分辨出来

$$\text{解: } |\omega_1 - \omega_2| < \frac{2\pi}{N}$$



(4) 信号截断后可能会产生频谱泄漏和谱间串扰。现对无限长非周期信号进行截断, 试举出至少一种缓解截断效应的方法, 并解释为什么能起到缓解作用。

解: ①采用缓变型的窗函数 (例如海明窗) 减小旁瓣幅度, 从而降低谱间串扰  
②增加窗函数的长度, 减小过渡带宽, 从而减小泄露。



# Chapter 3

## 快速傅里叶变换 (FFT)



3.3 当DFT的点数是2的整数幂时，我们可以使用基2-FFT算法。但是，当 $N = 4^v$ 时，使用基4-FFT算法效率更高。请根据所学知识完成下列问题：

- (a) 推导 $N = 4^v$ 时基4按时间抽取的FFT算法；
- (b) 画出基4-FFT算法的蝶形图，比较基4-FFT算法和基2-FFT算法的复乘和复加次数。

考察点：基2-FFT，基4-FFT

解：

- (a) 定义符号映射如下：

$$n = 4n_1 + n_2, \quad 0 \leq n_1 \leq \frac{N}{4} - 1, 0 \leq n_2 \leq 3$$

$$k = k_1 + \frac{N}{4}k_2, \quad 0 \leq k_1 \leq \frac{N}{4} - 1, 0 \leq k_2 \leq 3$$



基于时间抽样的FFT：

$$X(k) = X(k_1 + \frac{N}{4}k_2) = \sum_{n_2=0}^3 \left\{ \left[ \sum_{n_1=0}^{\frac{N}{4}-1} x(4n_1 + n_2) W_{N/4}^{n_1 k_1} \right] W_N^{n_2 k_1} \right\} W_4^{n_2 k_2}$$

时间抽样的FFT将N点DFT拆分为：

$$\text{四个N/4点的DFT: } G(n_2, k_1) = \sum_{n_1=0}^{\frac{N}{4}-1} x(4n_1 + n_2) W_{N/4}^{n_1 k_1}$$

$$\text{式子外边为一个4点DFT: } X(k_1 + \frac{N}{4}k_2) = \sum_{n_2=0}^3 \left\{ \left[ G(n_2, k_1) W_N^{n_2 k_1} \right] \right\} W_4^{n_2 k_2}$$

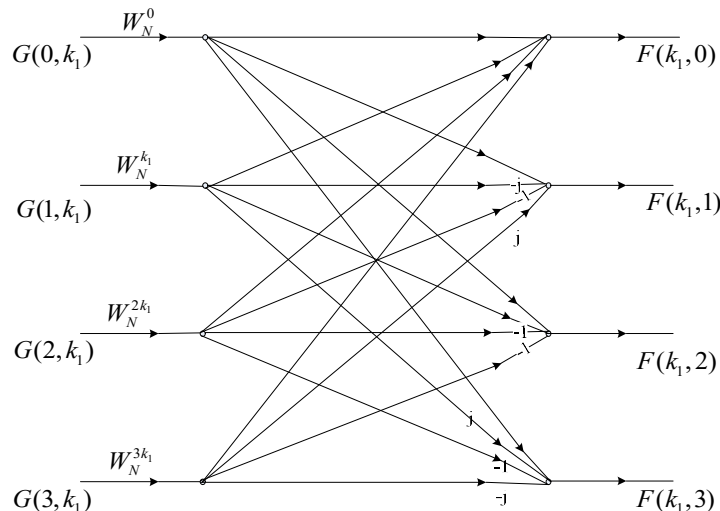
如果  $N=4^v$ ：用这种方法一直分解可以得到  $v = \log_4 N$  级分解，每一级包含  $N/4$  个蝶形运算。



(b) 基4-FFT中的4点蝶形运算如下

$$F(k_1, k_2) = \sum_{n_2=0}^3 \left\{ \left[ G(n_2, k_1) W_N^{n_2 k_1} \right] \right\} W_4^{n_2 k_2}, \quad k_2 = 0, 1, 2, 3$$

基4-FFT蝶形运算图以及基4-FFT 和基2-FFT蝶形运算计算量对比如下：

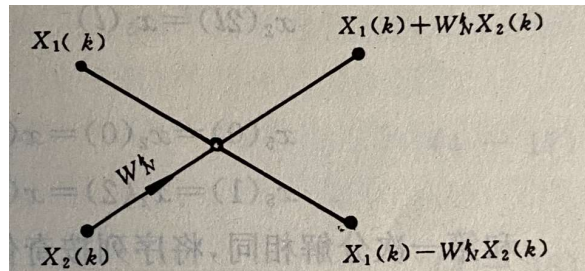


	复乘次数	复加次数
基2-FFT	$\frac{N}{2} \log_2 N$	$N \log_2 N$
基4-FFT	$\frac{3N}{4} \log_4 N$	$2N * \log_4 N$



## 知识点：FFT算法

基于时间抽样的基2-FFT算法：

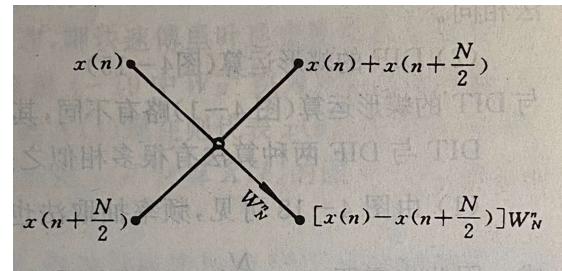


$$n = 2n_1 + n_2, \quad 0 \leq n_1 \leq \frac{N}{2} - 1, 0 \leq n_2 \leq 1$$

$$k = k_1 + \frac{N}{2}k_2, \quad 0 \leq k_1 \leq \frac{N}{2} - 1, 0 \leq k_2 \leq 1$$

$$X(k) = X(k_1 + \frac{N}{2}k_2) = \sum_{n_2=0}^1 \left\{ \left[ \sum_{n_1=0}^{\frac{N}{2}-1} x(2n_1 + n_2) W_{N/2}^{n_1 k_1} \right] W_N^{n_2 k_2} \right\} W_2^{n_2 k_2}$$

基于频域抽样的基2-FFT算法：



$$n = n_1 + \frac{N}{2}n_2, \quad 0 \leq n_1 \leq \frac{N}{2} - 1, 0 \leq n_2 \leq 1$$

$$k = 2k_1 + k_2, \quad 0 \leq k_1 \leq \frac{N}{2} - 1, 0 \leq k_2 \leq 1$$

$$X(k) = X(2k_1 + k_2) = \sum_{n_1=0}^{\frac{N}{2}-1} \left\{ \left[ \sum_{n_2=0}^1 x(n_1 + \frac{N}{2}n_2) W_2^{n_2 k_2} \right] W_N^{n_1 k_1} \right\} W_{N/2}^{n_1 k_1}$$



3.6  $X(e^{j\omega})$  表示长度为 10 的有限长序列  $x(n)$  的 DTFT。我们希望计算  $X(e^{j\omega})$  在频率  $\omega_k = \frac{2\pi k^2}{100}$ ,  $k = 0, 1, \dots, 9$  时的 10 个抽样。计算时不能采用先算出比要求数更多的抽样然后再丢掉一些的办法。讨论采用下列各方法的可能性：

- (1) 直接利用 10 点的 FFT 算法, 若可能, 给出奇偶分解的最终计算公式和乘法次数;
- (2) 利用线性调频 Z 变换算法。

考察点: FFT, 线性调频 Z 变换算法

解:

(1) 直接利用 FFT 算法: 
$$X(e^{j\omega}) = \sum_{n=0}^9 x(n) e^{-j\omega_k n} = \sum_{n=0}^9 x(n) e^{-j \frac{2\pi k^2}{100} n}$$



采用时间抽样的方法，将n为奇数和偶数部分分开，得：

$$\begin{aligned} X(e^{jw}) &= \sum_{r=0}^4 x(2r)e^{-j\frac{2\pi k^2}{100}2r} + \sum_{r=0}^4 x(2r+1)e^{-j\frac{2\pi k^2}{100}(2r+1)} \\ &= \sum_{r=0}^4 x(2r)e^{-j\frac{2\pi k^2}{50}r} + e^{-j\frac{2\pi k^2}{100}} \sum_{r=0}^4 x(2r+1)e^{-j\frac{2\pi k^2}{50}r} \\ &= G_0(k) + e^{-j\frac{2\pi k^2}{100}} G_1(k), k = 0, 1, \dots, 9 \\ G_l(k) &= \sum_{r=0}^4 x(2r+l)e^{-j\frac{2\pi k^2 r}{50}} \\ &= \sum_{s=0}^2 x(4s+l)e^{-j\frac{2\pi k^2 s}{25}} + e^{-j\frac{2\pi k^2}{50}} \sum_{s=0}^1 x(4s+2+l)e^{-j\frac{2\pi k^2 s}{25}}, l = 0, 1 \end{aligned}$$



$$\begin{aligned} G_l(k) &= \sum_{r=0}^4 x(2r+l) e^{-j \frac{2\pi k^2 r}{50}} \\ &= \sum_{s=0}^2 x(4s+l) e^{-j \frac{2\pi k^2 s}{25}} + e^{-j \frac{2\pi k^2}{50}} \sum_{s=0}^1 x(4s+2+l) e^{-j \frac{2\pi k^2 s}{25}}, l=0,1 \end{aligned}$$

一次复乘操作需要四次实数乘法：

对于每个k值，计算 $G_l(k)$ 需要计算 $8+8=16$ 次实数乘法（s=0时无乘法）；

对于每个k值，计算 $X(e^{j\omega})$ 需要计算 $2*16+4=36$ 次实数乘法（s=0时无乘法）；因此总共需要  
用到 $36*9=324$   
次（k=0时不需要乘法）次实数乘法。



(2) 用线性调频z变换算法：

$$X(z_k) = \sum_{n=0}^9 x(n) A^{-n} W^{nk} = \sum_{n=0}^9 x(n) A^{-n} \left( e^{-j2\pi k/100} \right)^{nk}$$

其中  $W = e^{-j2\pi k/100}$  是 k 的函数，不满足 CZT 算法的要求，因而不能采用 CZT 算法来实现。



## 知识点：线性调频Z运算

### 1.CZT对比FFT：

FFT只研究在z平面单位圆上的等间隔采样点，FFT不适用于：

- 只研究信号的某一频段，要求对该频段抽样密集，提高分辨率；
- 研究非单位圆上的抽样值；
- 需要准确计算N点DFT,且N为比较大的素数；等等

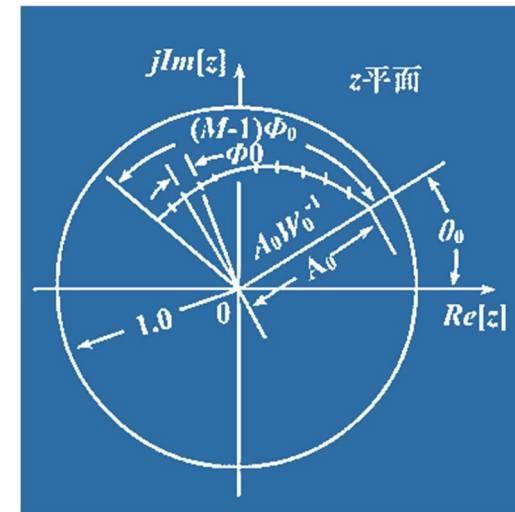
CZT算法：对Z变换做螺线采样，可以适用以上FFT无法处理的情况



2.CZT算法原理:  $X(z) = \sum_{n=0}^{N-1} x(n)z^{-n}$

$$X(z_k) = \sum_{n=0}^{N-1} x(n)z_k^{-n} = \sum_{n=0}^{N-1} x(n)A^{-n}W^{nk} \quad z_k = AW^k$$

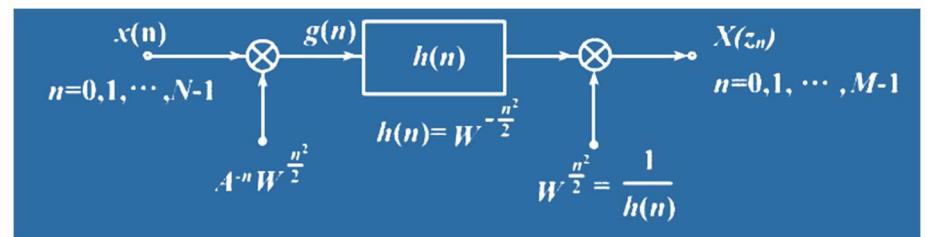
沿z平面上的一段螺线做等分角采样抽样, 抽样点为 $z_k$ :





3.求解抽样点处Z变换：

$$\begin{aligned} X(z_k) &= \sum_{n=0}^{N-1} x(n) A^{-n} W^{nk} \\ &= \sum_{n=0}^{N-1} x(n) A^{-n} W^{\frac{n^2}{2}} W^{-\frac{(k-n)^2}{2}} \\ &= W^{\frac{k^2}{2}} \left[ \sum_{n=0}^{N-1} x(n) A^{-n} W^{\frac{n^2}{2}} \right] W^{-\frac{(k-n)^2}{2}} \\ &= W^{\frac{k^2}{2}} [g(k) * h(k)] \end{aligned}$$



- 主要到采样点 $z_k$ 中的A和W均为螺线采样的初始量和步进量，都为常数。满足条件的采样点 $z_k$ 才能实现以上CZT算法。



3.7 线性调频Z变换可以用来计算一个有限长序列 $h(n)$ 在Z平面实轴上的取样点 $z_k$ 的Z变换 $H(z_k)$ 。那么, 请指出以下三个有关采样点 $z_k$ 说法中正确的说法, 并简单证明。注: 只需要证明正确的说法。

- (1) 在一定的条件下, 存在 $z_k = a^k, k = 0, 1, \dots, N - 1$ ,  $a$ 为实数,  $a \neq 1$ ;
- (2) 在一定的条件下, 存在 $z_k = ak, k = 0, 1, \dots, N - 1$ ,  $a$ 为实数,  $a \neq 1$ ;
- (3) 线性调频Z变换不能计算 $H(z)$ 在Z平面实轴上的取样值, 即(1)和(2)都不行。



考察点：线性调频Z变换

解：在线性调频Z变换中，设N为采样点数，采样点 $z_k$ 可以表示为

$$z_k = AW^{-k}, k = 0, 1, \dots, N-1$$

其中

$$A = A_0 e^{j\theta_0}, W = W_0 e^{-j\phi_0}$$

则

$$z_k = A_0 e^{j\theta_0} W_0^{-k} e^{jk\phi_0}, k = 0, 1, \dots, N-1$$

要采用线性调频Z变换，采样点 $z_k$ 需要满足上式，只有条件 (1) 满足条件。



中国科学技术大学  
University of Science and Technology of China

# Chapter 4

## 数字滤波器及其结构

# ► IIR滤波器的结构

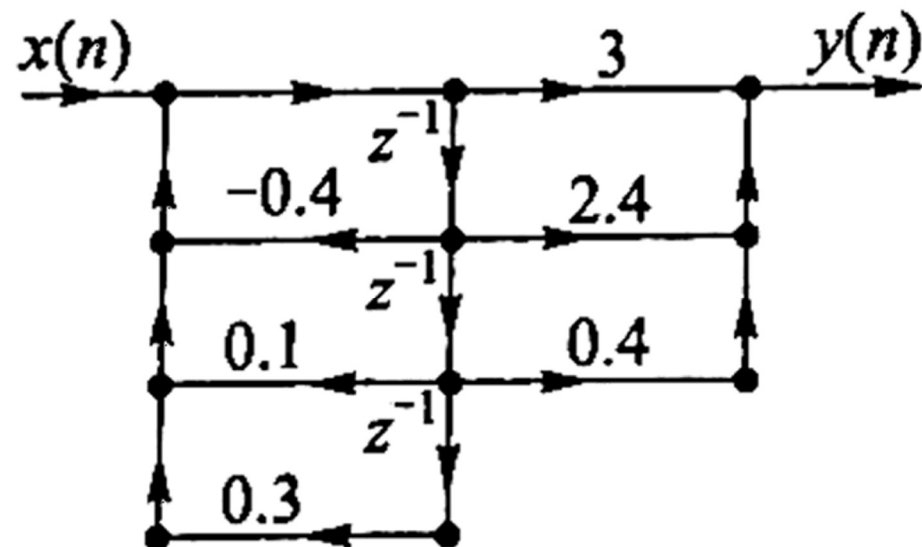


4.2 已知某三阶数字滤波器的系统函数为:

$$H(z) = \frac{3 + 2.4z^{-1} + 0.4z^{-2}}{(1 - 0.6z^{-1})(1 + z^{-1} + 0.5z^{-2})}$$

试画出其直接II型、级联型和并联型结构。

解: 直接型:  $H(z) = \frac{3 + 2.4z^{-1} + 0.4z^{-2}}{(1 - 0.6z^{-1})(1 + z^{-1} + 0.5z^{-2})} = \frac{3 + 2.4z^{-1} + 0.4z^{-2}}{1 + 0.4z^{-1} - 0.1z^{-2} - 0.3z^{-3}}$  , 可得到直接II型的结构为:

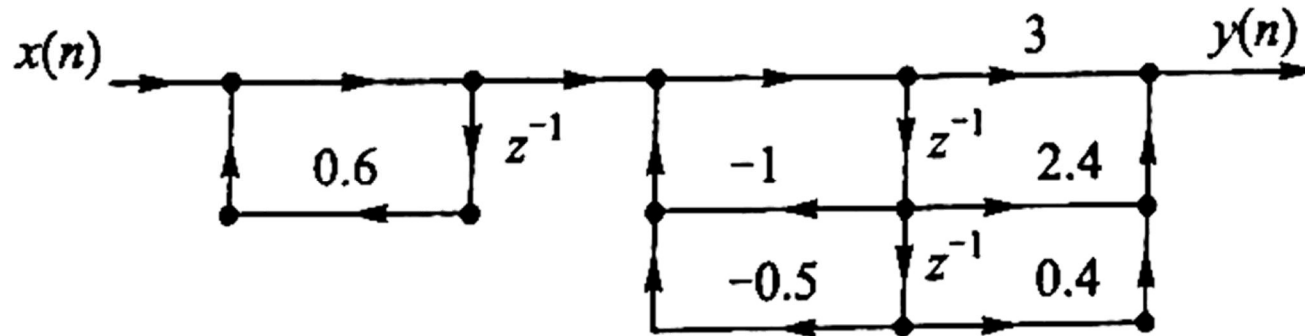




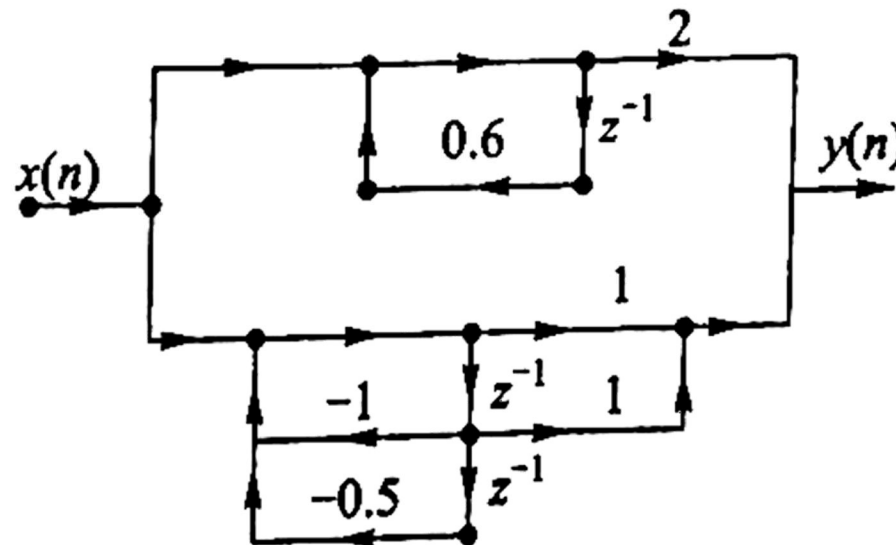
## ► IIR滤波器的结构

级联型：系统函数有一个实极点和一对共轭复极点，将  $H(z)$  分母分解为实系数一阶项和二阶项之积，

$$H(z) = \frac{1}{1-0.6z^{-1}} \frac{3+2.4z^{-1}+0.4z^{-2}}{1+z^{-1}+0.5z^{-2}} , \text{ 可以得到级联型结构为:}$$



并联型：将  $H(z)$  部分分式展开  $H(z) = \frac{1}{1-0.6z^{-1}} + \frac{1+z^{-1}}{1+z^{-1}+0.5z^{-2}}$ ，可以得到并联型结构为：

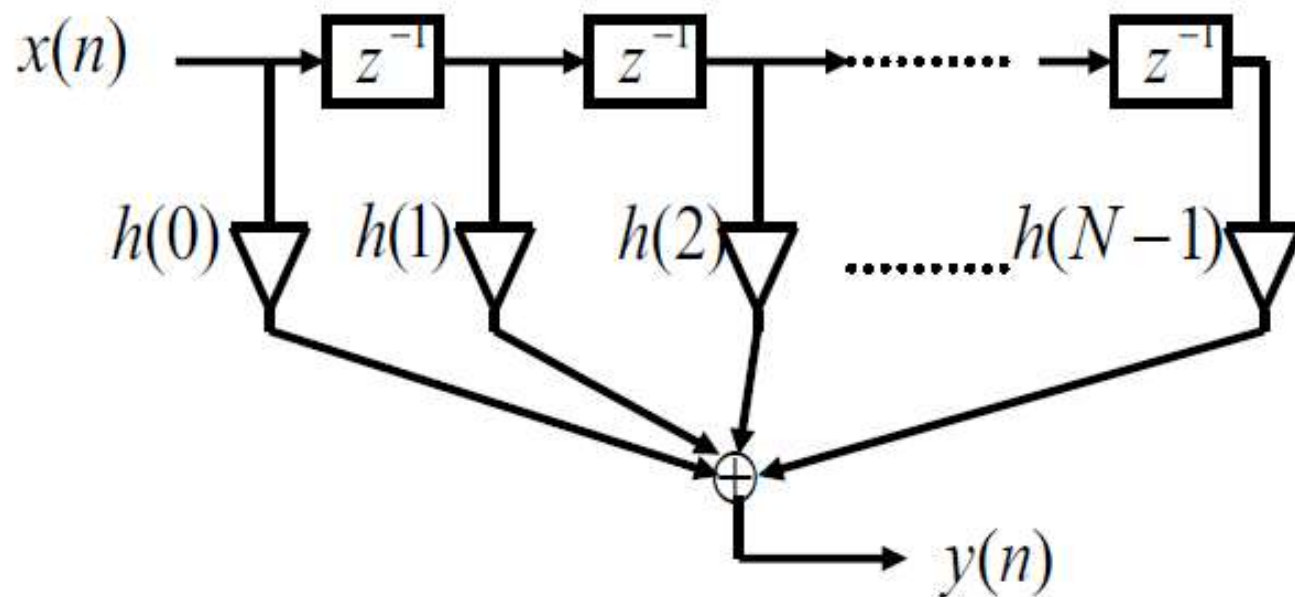


# FIR滤波器的结构



4.6 (1) 已知  $H(z) = 1.918(1 - 3.5z^{-1} + 7.75z^{-2} - 7.75z^{-3} + 3.5z^{-4} - z^{-5})$ , 画出该FIR滤波器的最简结构。

(2) 若  $H(z) = \frac{1}{5}(1 + 3z^{-1} + 5z^{-2} + 3z^{-3} + z^{-4})$ , 画出该FIR滤波器的最简结构。

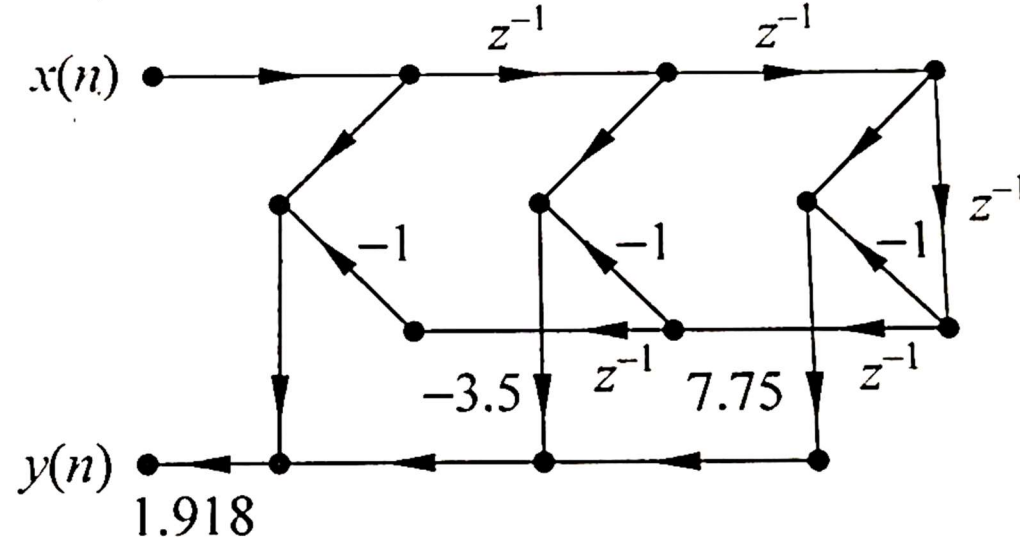


FIR直接型实现结构

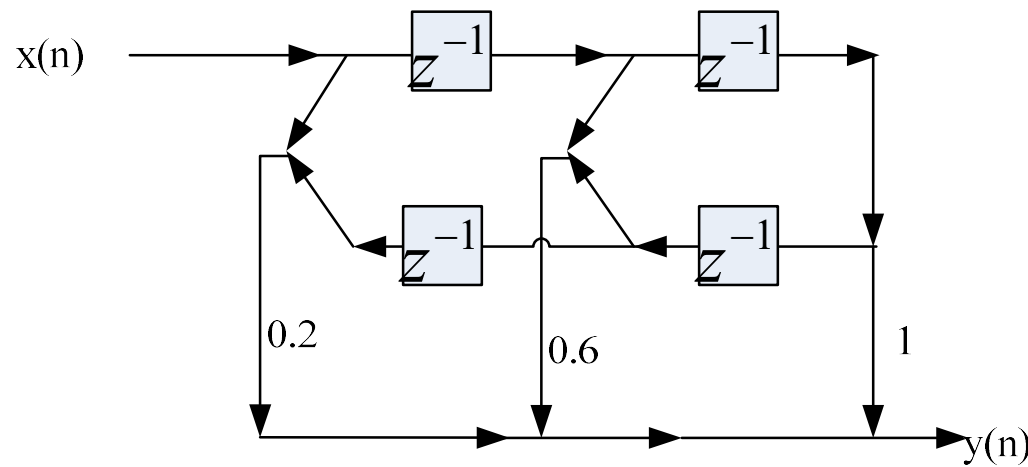
# FIR滤波器的结构



解：(1) 由  $h(n) = -h(N-1-n)$  可得：



(2) 由  $h(n) = h(N-1-n)$  可得：



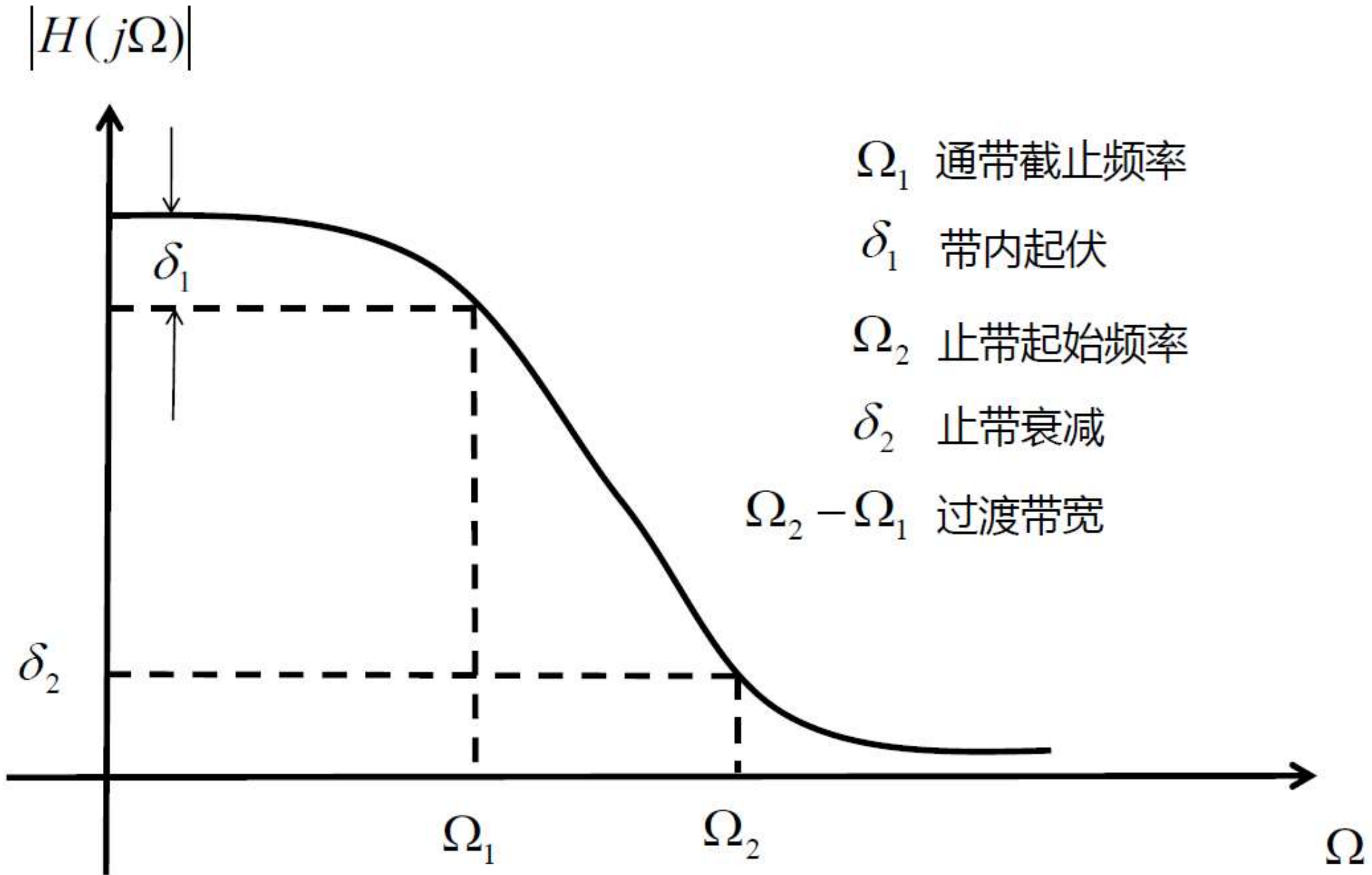


中国科学技术大学  
University of Science and Technology of China

# Chapter 5

## IIR数字滤波器设计

## ➤ 濾波器设计指标



# ➤ 双线性变换法



中国科学技术大学  
University of Science and Technology of China

5.3 试用双线性变换法设计低通数字滤波器，设计指标为：通带截止频率为  $100\text{Hz}$ ，通带幅度波动小于  $1\text{dB}$ ，止带起始频率为  $150\text{Hz}$ ，止带衰减大于  $10\text{dB}$ 。采样间隔为  $T_s = 1\text{ms}$ 。

解： (1) 由模拟指标求数字指标：

$$w_1 = 2\pi \frac{f_1}{f_s} = 0.2\pi \quad w_2 = 2\pi \frac{f_2}{f_s} = 0.3\pi$$

(2) 由数字指标求模拟滤波器指标：(双线性变换要反畸变)

$$\begin{aligned}\Omega_1 &= \tan \frac{w_1}{2} = 0.3249 & \Omega_2 &= \tan \frac{w_2}{2} = 0.5095 \\ \delta_1 &= 1\text{dB} & \delta_2 &= 10\text{dB}\end{aligned}$$

(3) 选模型设计模拟滤波器：

Chebyshev模型:  $\varepsilon$ 、 $\Omega_c$ 、 $N$

$$|H_a(j\Omega)|^2 = A^2(\Omega) = \frac{1}{1 + \varepsilon^2 C_N^2 \left(\frac{s}{j\Omega_c}\right)} \Big|_{s=j\Omega}$$

Butterworth模型:  $N$ 、 $\Omega_c$

$$A^2(\Omega) = \frac{1}{1 + \left(\frac{\Omega}{\Omega_c}\right)^{2N}}$$

# ➤ 双线性变换法



(4) 求模拟滤波器:

Chebyshev模型:  $\varepsilon$ 、 $\Omega_c$ 、 $N$

$$\varepsilon = (10^{\delta_1/10} - 1)^{1/2} = 0.5088$$

$$\Omega_c = \Omega_1 = 0.3249$$

试算法求  $N$ :

$$N = 2 \quad 10 \lg \left[ 1 + \varepsilon^2 C_N^2 \left( \frac{\Omega_2}{\Omega_c} \right) \right] = 6.9676 < \delta_2$$

$N = 3$

$$10 \lg \left[ 1 + \varepsilon^2 C_N^2 \left( \frac{\Omega_2}{\Omega_c} \right) \right] = 14.8793 > \delta_2$$

$$C_0(x) = 1$$

$$C_1(x) = x$$

$$C_2(x) = 2x^2$$

$$C_3(x) = 4x^3 - 3x$$

Butterworth模型:  $N$ 、 $\Omega_c$

$$N = \frac{1}{2} \cdot \frac{\lg \frac{10^{\delta_2/10} - 1}{10^{\delta_1/10} - 1}}{\lg \frac{\Omega_2}{\Omega_1}} = 3.9435$$

$N = 4$

折中取  $\Omega_c$ , 保证裕量: ① 按通带:  $10 \lg \left[ 1 + \left( \frac{\Omega_1}{\Omega_c} \right)^{2N} \right] = \delta_1 \rightarrow \Omega_c = 0.3847$

$$\rightarrow \Omega_c = 0.385$$

② 按止带:  $10 \lg \left[ 1 + \left( \frac{\Omega_2}{\Omega_c} \right)^{2N} \right] = \delta_2 \rightarrow \Omega_c = 0.3871$

# ➤ 双线性变换法



(5) 设计模拟滤波器 : (以Butterworth为例)

Butterworth模型: ( $H_a(s)H_a(-s)$  极点分布在s平面半径为  $\Omega_c$  的圆 (巴特沃斯圆) 上,  
共  $2N$  个角度间隔是  $\pi/N$  弧度的极点, 关于实轴对称)

为保证系统因果稳定, 取前  $N$  个极点构成  $H_a(s)$

$$H_a(s) = \prod_{k=1}^N \frac{1}{s - s_k}, \quad s_k = \Omega_c e^{j(\frac{1+2k-1}{2N})\pi}, \quad k = 1, \dots, N$$

低阶情况下可以使用书上的表: (冲激响应不变法不要用表)

阶 次	系 统 函 数 $H_a(s)$
1	$\Omega_c / (s + \Omega_c)$
2	$\Omega_c^2 / (s^2 + \sqrt{2} \Omega_c s + \Omega_c^2)$
3	$\Omega_c^3 / (s^3 + 2\Omega_c s^2 + 2\Omega_c^2 s + \Omega_c^3)$
4	$\Omega_c^4 / (s^4 + 2.613\Omega_c s^3 + 3.414\Omega_c^2 s^2 + 2.613\Omega_c^3 s + \Omega_c^4)$
5	$\Omega_c^5 / (s^5 + 3.236\Omega_c s^4 + 5.236\Omega_c^2 s^3 + 5.236\Omega_c^3 s^2 + 3.236\Omega_c^4 s + \Omega_c^5)$
6	$\Omega_c^6 / (s^6 + 3.863\Omega_c s^5 + 7.464\Omega_c^2 s^4 + 9.141\Omega_c^3 s^3 + 7.464\Omega_c^4 s^2 + 3.863\Omega_c^5 s + \Omega_c^6)$

# ➤ 双线性变换法



(5) 设计模拟滤波器 : (以Butterworth为例)

$$H_a(s) = \frac{\Omega_c^4}{s^4 + 2.6131\Omega_c s^3 + 3.4142\Omega_c^2 s^2 + 2.6131\Omega_c^3 s + \Omega_c^4}$$

$$= \frac{0.3515/16}{s^4 + 2.012/2s^3 + 2.024/4s^2 + 1.1930/8s + 0.3515/16}$$

(6) 查表进行双线性变换 : (注意c的取值)

$$H(z) = H_a(s) \Big|_{s=\frac{1-z^{-1}}{1+z^{-1}}} = \frac{0.0082 + 0.0328z^{-1} + 0.0491z^{-2} + 0.0328z^{-3} + 0.0082z^{-4}}{1 - 2.0967z^{-1} + 1.9080z^{-2} - 0.8192z^{-3} + 0.1390z^{-4}}$$

(7) 验算

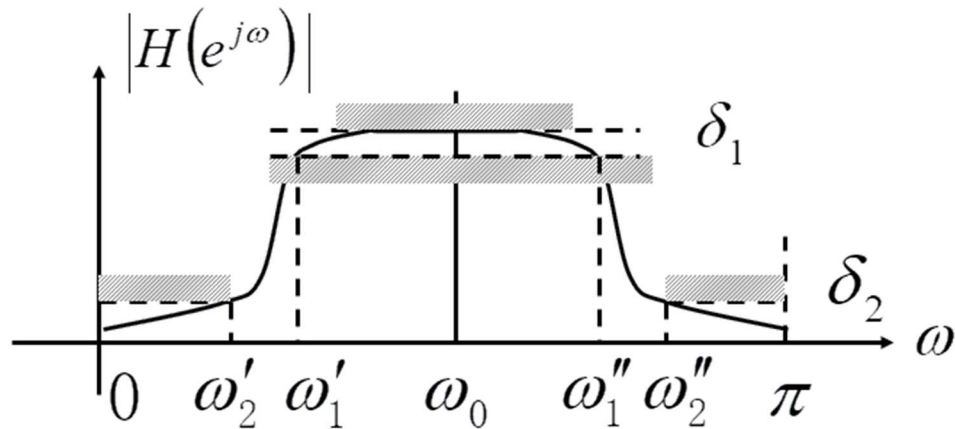
$$w_1 = 0.2\pi \quad -20\lg|H(e^{jw_1})| = 0.9945 \text{ dB} < 1 \text{ dB}$$

$$w_2 = 0.3\pi \quad -20\lg|H(e^{jw_2})| = 10.17499 > 10 \text{ dB}$$

—阶 $N=1$	
$B_0$	$(d_0 + d_1C)/A$
$B_1$	$(d_0 - d_1C)/A$
$A_1$	$(c_0 - c_1C)/A$
$A$	$(c_0 + c_1C)$
二阶 $N=2$	
$B_0$	$(d_0 + d_1C + d_2C^2)/A$
$B_1$	$(2d_0 - 2d_2C^2)/A$
$B_2$	$(d_0 - d_1C + d_2C^2)/A$
$A_1$	$2(c_0 - 2c_2C^2)/A$
$A_2$	$(c_0 - c_1C + c_2C^2)/A$
$A$	$(c_0 + c_1C + c_2C^2)$
三阶( $N=3$ )	
$B_0$	$(d_0 + d_1C + d_2C^2 + d_3C^3)/A$
$B_1$	$(3d_0 + d_1C - d_2C^2 - 3d_3C^3)/A$
$B_2$	$(3d_0 - d_1C - d_2C^2 + 3d_3C^3)/A$
$B_3$	$(d_0 - d_1C + d_2C^2 - d_3C^3)/A$
$A_1$	$(3c_0 + c_1C - c_2C^2 - 3c_3C^3)/A$
$A_2$	$(3c_0 - c_1C - c_2C^2 + 3c_3C^3)/A$
$A_3$	$(c_0 - c_1C + c_2C^2 - c_3C^3)/A$
$A$	$(c_0 + c_1C + \frac{4}{c_2}C^2 + c_3C^3)$



5.4 设计一Butterworth带通滤波器，其3 dB边界频率分别为 $f_1 = 90\text{kHz}$ ,  $f_2 = 110\text{kHz}$ ，在阻带 $f_3 = 80\text{kHz}$ ,  $f_4 = 120\text{kHz}$ ，处的最小频率衰减大于10 dB，采样频率 $f_s = 400\text{kHz}$ 。



解：（1）由模拟指标求数字指标：

$$w_2' = 2\pi \frac{f_3}{f_s} = 0.4\pi \quad w_1' = 2\pi \frac{f_1}{f_s} = 0.45\pi \quad w_1'' = 2\pi \frac{f_2}{f_s} = 0.55\pi \quad w_2'' = 2\pi \frac{f_4}{f_s} = 0.6\pi$$

（2）由数字指标求模拟滤波器指标：（双线性变换要反畸变）

$$\alpha = \frac{\sin \omega_1' + \sin \omega_1''}{\cos \omega_1' - \cos \omega_1''} = 6.3138, \quad \beta = \frac{\sin(\omega_1' + \omega_1'')}{\sin \omega_1' + \sin \omega_1''} = 0$$

$$\Omega_2 = \min \left\{ -\frac{\alpha(\beta - \cos \omega_2')}{\sin \omega_2'}, \frac{\alpha(\beta - \cos \omega_2'')}{\sin \omega_2''} \right\} = 2.0515, \quad \Omega_1 = 1 \quad \delta_1 = 3\text{dB} \quad \delta_2 = 10\text{dB}$$

## 频域变换法



中国科学技术大学  
University of Science and Technology of China

$$\begin{aligned} H(z) &= H_a(s) \Big|_{s=\alpha \cdot \frac{z^2 - 2\beta z + 1}{z^2 - 1}} \\ &= \frac{(z^2 - 1)^2}{49.7818z^4 + 77.7080z^2 + 31.9262} \end{aligned}$$

(注：由于Butterworth  $\Omega_c$ 取值不同、四舍五入等影响，结果可以有细微不同)



## ➤ 冲激响应不变法

5.5 试用冲激响应不变法设计一个Chebyshev I型低通滤波器，设计指标为：通带截止频率为1.5kHz，通带幅度波动小于1dB，阻带起始频率为2.5kHz，阻带衰减大于8dB，并给出所得到的数字滤波器的系统函数。（设取样频率 $f_s = 10\text{kHz}$ ）

解： (1) 确定模拟滤波器指标：

$$\Omega_1 = 2\pi f_1 = 3000\pi, \delta_1 = 1$$

$$\Omega_2 = 2\pi f_2 = 5000\pi, \delta_2 = 8$$

确定模型参数：

$$\varepsilon = \sqrt{10^{\frac{\delta_1}{10}} - 1} = 0.5088$$

$$\Omega_c = \Omega_1 = 3000\pi$$



## ➤ 冲激响应不变法

(2) 试算法确定滤波器阶数N:

$$10\lg \left[ 1 + \varepsilon^2 C_N^2 \left( \frac{\Omega_2}{\Omega_c} \right) \right] \geq \delta_2$$

当取  $N = 1$  时:

$$10\lg \left[ 1 + \varepsilon^2 C_1^2 \left( \frac{\Omega_2}{\Omega_c} \right) \right] = 2.353 \text{dB} < 8 \text{dB}$$

当取  $N = 2$  时:

$$10\lg \left[ 1 + \varepsilon^2 C_2^2 \left( \frac{\Omega_2}{\Omega_c} \right) \right] = 8.0431 \text{dB} > 8 \text{dB}$$

满足设计要求



## ➤ 冲激响应不变法

(3) 设计模拟滤波器：

确定极点：

$$\alpha = \frac{1}{\varepsilon} + \sqrt{\frac{1}{\varepsilon^2} + 1} = 4.1702$$

$$a = 1/2(\alpha^{0.5} - \alpha^{-0.5}) = 0.7762$$

$$b = 1/2(\alpha^{0.5} + \alpha^{-0.5}) = 1.2659 \rightarrow$$

$$\theta_1 = \frac{1}{4}\pi, \theta_2 = \frac{3}{4}\pi$$

确定归一化常数K：

$$K = \frac{(\alpha + \alpha^{-1})\Omega_c^2}{4\sqrt{1 + \varepsilon^2}} = 87.2279 \times 10^6$$

$$\begin{aligned} s_k &= (-a \sin \theta_k + jb \cos \theta_k) \Omega_c \\ &\Rightarrow \\ s_{1,2} &= (-a \sin \theta_1 \pm jb \cos \theta_1) \Omega_c \\ &= (-5.17158 \pm j8.44032) \times 10^3 \end{aligned}$$



## ➤ 冲激响应不变法

确定模拟滤波器的系统函数  $H_a(s)$

$$H_a(s) = \frac{K}{(s - s_1)(s - s_2)}$$

将  $H_a(s)$  作部分分式展开：

$$H_a(s) = \frac{K}{s_1 - s_2} \left( \frac{1}{s - s_1} - \frac{1}{s - s_2} \right)$$

(4) 进行脉冲响应不变的变换：

$$H(z) = \sum_{i=1}^N \frac{A_i}{1 - e^{s_i T} z^{-1}} = \frac{K}{s_1 - s_2} \left( \frac{1}{1 - e^{s_1 T} z^{-1}} - \frac{1}{1 - e^{s_2 T} z^{-1}} \right)$$

将  $T = 1/f_s$ ,  $K, s_1, s_2$  代入, 经过整理, 得

$$H(z) = \frac{4606.21z^{-1}}{1 - 0.79193z^{-1} + 0.35544z^{-2}}$$



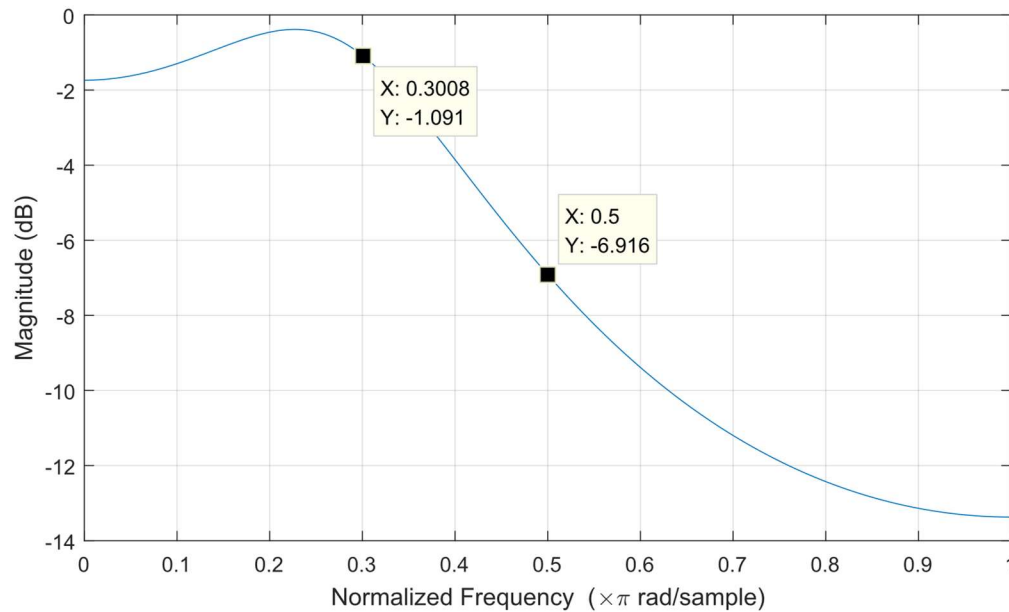
## ➤ 冲激响应不变法

(5) 验算：

$$H(e^{j\omega}) = \frac{4606.21e^{-j\omega}}{1 - 0.79193e^{-j\omega} + 0.35544e^{-2j\omega}}$$

$$\text{通带 } \omega_1 = \frac{1.5}{10} \times 2\pi = 0.3\pi$$

$$\text{止带 } \omega_2 = \frac{2.5}{10} \times 2\pi = 0.5\pi$$



原因：可能是因为冲激响应不变法产生频谱混叠



中国科学技术大学  
University of Science and Technology of China

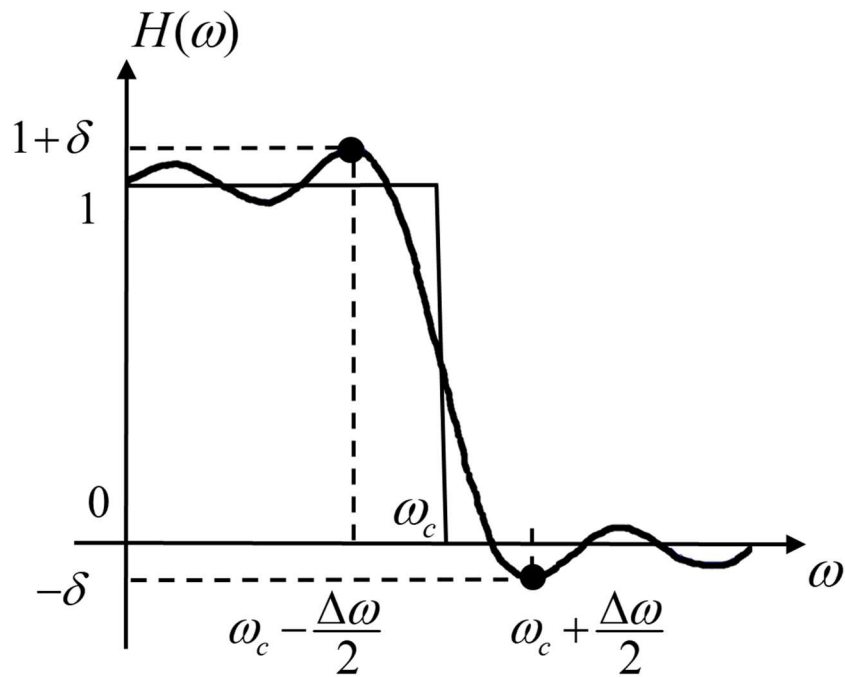
# Chapter 6

## FIR数字滤波器设计



## ➤ 窗函数法

6.1 设计一个线性相位高通滤波器  $h(n)$ , 满足止带边界频率  $f_1 = 10\text{kHz}$ , 通带边界频率  $f_2 = 12\text{kHz}$ , 止带衰减大于  $50\text{dB}$ , 采样频率  $f_s = 40\text{kHz}$ , 试选择合适的窗函数, 且使滤波器阶数 **最小**, 求出该滤波器的单位响应  $h(n)$  的解析式。 (关于频点和幅度参数的定义, 按照课件29页约定)



本课程简化约定:

- 通带截止频率  $\omega_1$  为肩峰频点
- 止带起始频率  $\omega_2$  为过冲频点

则, 过渡带宽为窗函数主瓣宽度  $\Delta\omega$



## ➤ 窗函数法

### 常用窗函数

窗函数	主瓣宽度	旁瓣电平 (dB)	阻带衰减 (dB)	通带起伏 (dB)
矩形	$4\pi/N$	-13	-21	0.7
三角	$8\pi/N$	-25	-25	0.5
Hanning	$8\pi/N$	-32	-44	0.05
Hamming	$8\pi/N$	-42	-53	0.02
Blackman	$12\pi/N$	-57	-74	0.002

根据止带衰减大于50dB, 查表得满足设计指标的最小阶数窗函数为  
Hamming窗:

$$w(n) = 0.54 - 0.46 \cos\left(\frac{2\pi n}{N-1}\right)$$



## ➤ 窗函数法

过渡带宽即主瓣宽度的数字域频率为:  $\Delta\omega = 2\pi \frac{(f_2 - f_1)}{f_s} = 0.1\pi$

通带截止频率的数字域频率为:  $\omega_1 = 2\pi \frac{f_1}{f_s} = 0.5\pi$

截止频率为:  $\omega_c = \omega_1 + \frac{\Delta\omega}{2} = 0.55\pi$

Hamming窗的主瓣宽度为 $8\pi/N$ , 由此可确定滤波器阶数

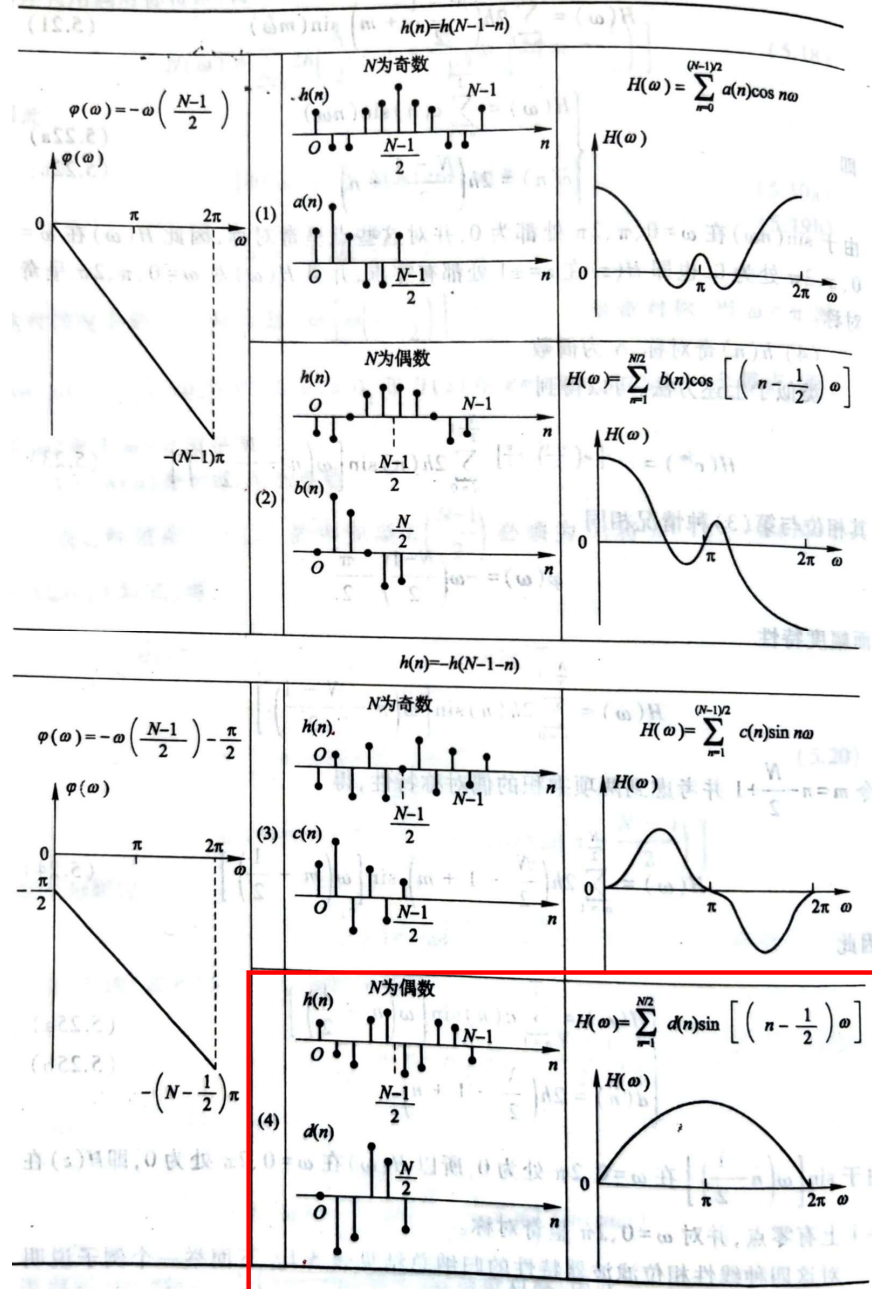
$$\frac{8\pi}{N} = \Delta\omega \Rightarrow N = \frac{8\pi}{\Delta\omega} = 80$$

由于设计的滤波器为高通滤波器, 因此 $N$ 为偶数,  $h(n)$ 奇对称即可以满足设计要求 (第四类线性相位滤波器) 。



# 窗函数法

表 5.1 四种线性相位 FIR 滤波器



$H(\omega)$  关于  $2k\pi$  奇对称, 关于  $(2k+1)\pi$  偶对称



## ➤ 窗函数法

构造理想的高通滤波器：

$$H_d(e^{j\omega}) = \begin{cases} e^{-j\left(\omega\alpha + \frac{\pi}{2}\right)}, & \omega_c \leq \omega \leq 2\pi - \omega_c \\ 0, & \text{otherwise} \end{cases}$$

或者

$$H_d(e^{j\omega}) = \begin{cases} e^{-j\left(\omega\alpha + \frac{\pi}{2}\right)}, & \omega_c \leq \omega \leq \pi \\ -e^{-j\left(\omega\alpha + \frac{\pi}{2}\right)}, & -\pi \leq \omega \leq -\omega_c \\ 0, & \text{otherwise} \end{cases}$$

其中，线性相位延迟常数  $\alpha = \frac{N-1}{2} = 39.5$



## ➤ 窗函数法

求  $h_d(n)$ :

$$\begin{aligned} h_d(n) &= \frac{1}{2\pi} \left[ \int_{-\pi}^{-\omega_c} -e^{-j(\omega\alpha + \frac{\pi}{2})} e^{j\omega n} d\omega + \int_{\omega_c}^{\pi} e^{-j(\omega\alpha + \frac{\pi}{2})} e^{j\omega n} d\omega \right] \\ &= \frac{\cos((n-\alpha)\pi) - \cos((n-\alpha)\omega_c)}{\pi(n-\alpha)} \end{aligned}$$

采用80阶Hamming窗设计, 因此有:

$$w(n) = 0.54 - 0.46 \cos\left(\frac{2\pi n}{N-1}\right)$$

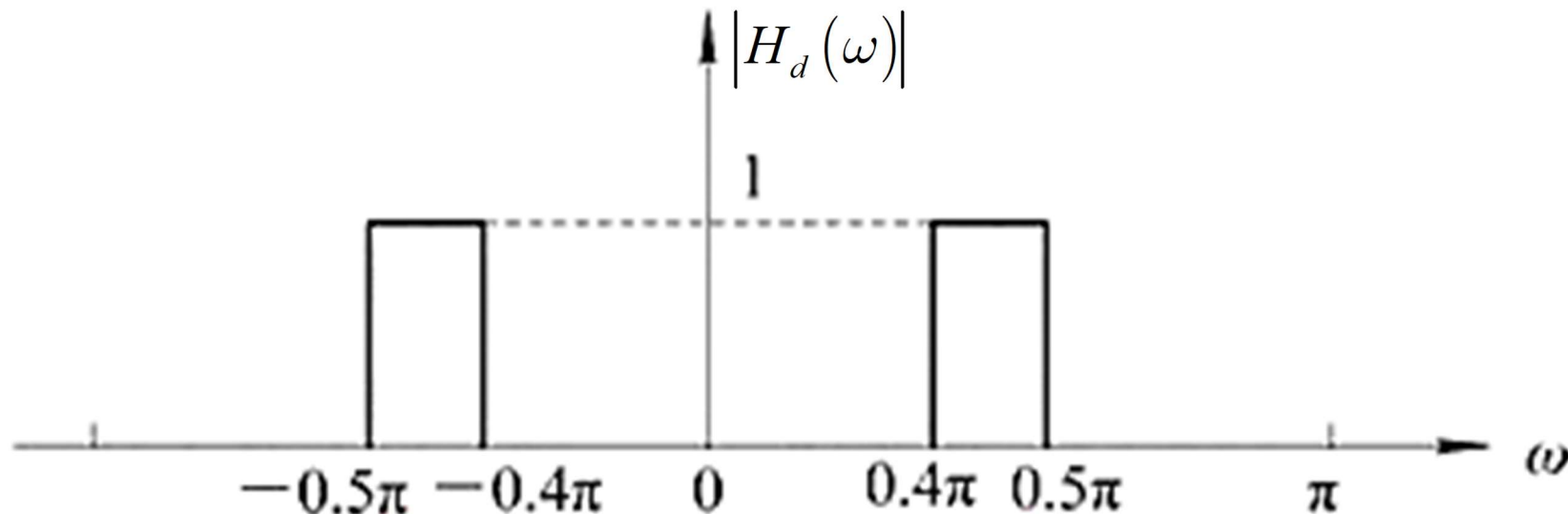
$$h(n) = h_d(n)w(n)$$

$$= \left[ 0.54 - 0.46 \cos\left(\frac{2\pi n}{79}\right) \right] \frac{\cos((n-39.5)\pi) - \cos((n-39.5)0.55\pi)}{\pi(n-39.5)} \bullet R_{80}(n)$$



## ➤ 频率抽样设计法

6.4 试用频率取样法设计线性相位FIR带通数字滤波器, 设 $N = 33$ , 理想幅度特性 $|H_d(\omega)|$ 如下图所示:





## ➤ 频率抽样设计法

线性相位FIR	$N$ 是奇数	$N$ 是偶数
$h(n) = h(N - 1 - n)$	第一类	第二类
$h(n) = -h(N - 1 - n)$	第三类	第四类

★ 第一类：四种滤波器都可设计

第二类：可设计低、带通滤波器，不能设计高通和带阻

★ 第三类：只能设计带通滤波器，其它滤波器都不能设计

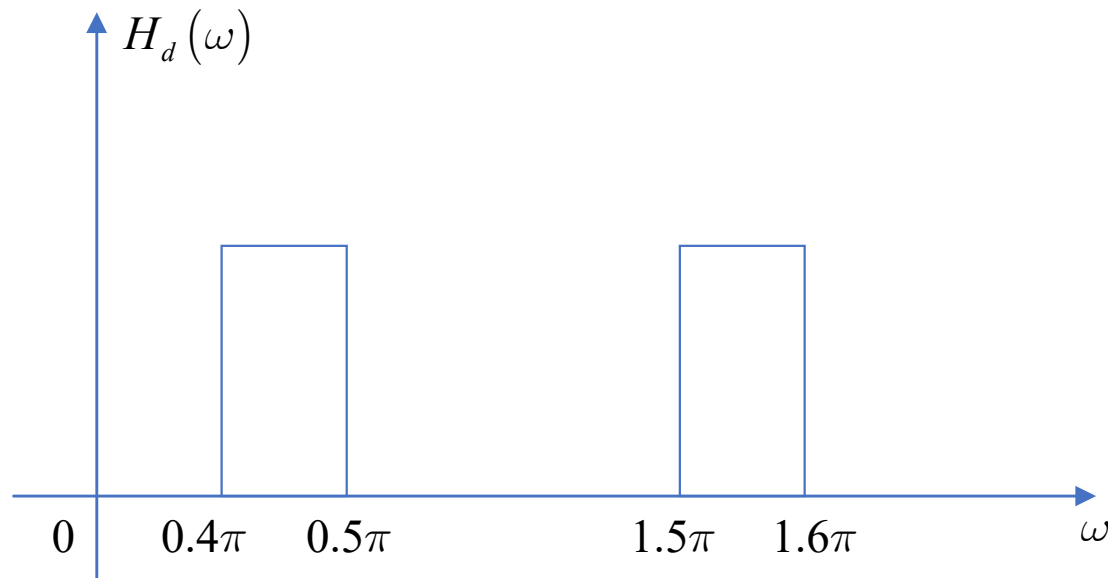
第四类：可设计高通、带通滤波器，不能设计低通和带阻滤波器



## ➤ 频率抽样设计法

方法1：设计第一类线性相位FIR滤波器

$H(\omega)$ 关于 $k\pi$ 偶对称



$$H_k = H_d(\omega) \Big|_{\omega=\frac{2\pi}{N}k} = \begin{cases} 1, & k = 7, 8, 25, 26 \\ 0, & k = 0 \sim 6, 9 \sim 24, 27 \sim 32 \end{cases}$$

$$\theta(k) = \theta(\omega) \Big|_{\omega=\frac{2\pi}{N}k} = -\frac{N-1}{2} \cdot \frac{2\pi}{N} k$$



## ➤ 频率抽样设计法

$$H(k) = H_k e^{j\theta(k)} = \begin{cases} e^{-j\frac{32}{33}\pi k}, & k = 7, 8, 25, 26 \\ 0, & k = 0 \sim 6, 9 \sim 24, 27 \sim 32 \end{cases}$$

$$\begin{aligned} h(n) &= \text{IDFT}[H(k)] \\ &= \frac{1}{33} \left\{ \cos \left[ \frac{14\pi}{33} (n-16) \right] + \cos \left[ \frac{16\pi}{33} (n-16) \right] \right\} \cdot R_{33}(n) \end{aligned}$$

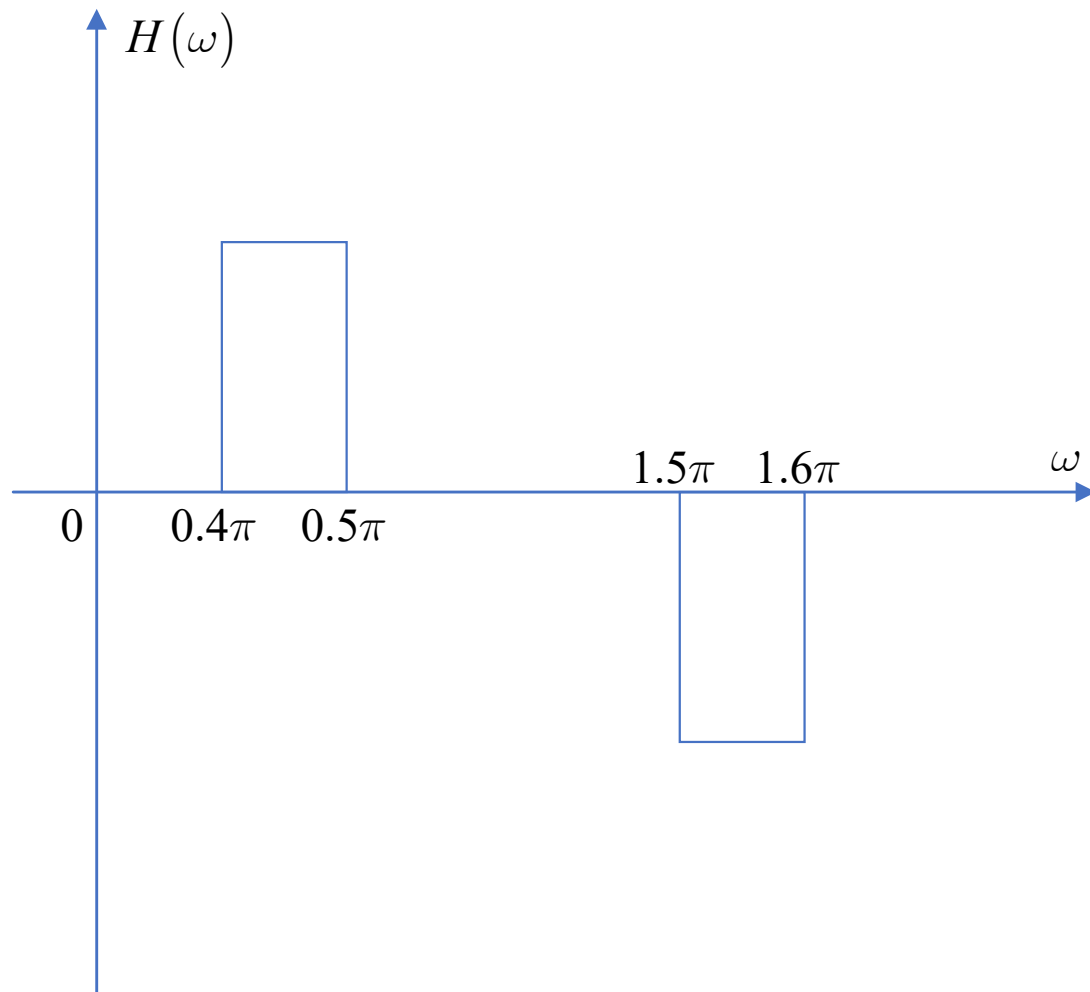
$$n = 0, 1, \dots, 32$$



## ➤ 频率抽样设计法

方法2：设计第三类线性相位FIR滤波器

$H(\omega)$ 关于 $k\pi$ 奇对称，必有 $H(k\pi) = 0$





## ➤ 频率抽样设计法

$$H_k = H_d(\omega) \Big|_{\omega=\frac{2\pi}{N}k} = \begin{cases} 1, & k = 7, 8 \\ -1, & k = 25, 26 \\ 0, & k = 0 \sim 6, 9 \sim 24, 27 \sim 32 \end{cases}$$
$$\theta(k) = \theta(\omega) \Big|_{\omega=\frac{2\pi}{N}k} = -\frac{\pi}{2} - \frac{N-1}{2} \cdot \frac{2\pi}{N} k$$

$$H(k) = H_k e^{j\theta(k)} = \begin{cases} e^{-j\left(\frac{\pi}{2} + \frac{32}{33}\pi k\right)}, & k = 7, 8 \\ -e^{-j\left(\frac{\pi}{2} + \frac{32}{33}\pi k\right)}, & k = 25, 26 \\ 0, & k = 0 \sim 6, 9 \sim 24, 27 \sim 32 \end{cases}$$

$$h(n) = \text{IDFT}[H(k)], n = 0, 1, \dots, 32$$